УДК 621.3.07: 681.5.015

**Н.В. МЕЗЕНЦЕВ**, канд. техн. наук, доц., НТУ "ХПИ", **А.Ю. ЗАКОВОРОТНЫЙ**, канд. техн. наук, доц., НТУ "ХПИ", **Г.В. ГЕЙКО**, ст. преп., НТУ "ХПИ"

# ИДЕНТИФИКАЦИЯ ПАРАМЕТРОВ ТЯГОВОГО АСИНХРОННОГО ПРИВОДА ДИЗЕЛЬ-ПОЕЗДА

Предлагается идентификация параметров тягового асинхронного привода дизельпоезда на основе метода наименьших квадратов. Выполнено преобразование исходной 
математической модели тягового привода к модели, в которой исключены неподдающиеся 
прямому измерению величины. Приводятся результаты имитационного моделирования, 
подтверждающие правильность предложенной параметрической идентификации. Ил.: 1. 
Библиогр.: 9 назв.

**Ключевые слова:** идентификация, метод наименьших квадратов, тяговый асинхронный привод, имитационное моделирование.

Постановка проблемы и анализ литературы. Качественное управление электроприводом основывается на точном знании его фазовых координат. В тяговом приводе дизель-поезда используются асинхронные двигатели с короткозамкнутым ротором, измерение части фазовых координат которого напрямую невозможно [1]. Поэтому одной из основных задач, возлагаемых на систему управления, является задача идентификации данных, которая решается за счет использования различного рода наблюдателей [2-6]. Наблюдатели строятся на базе математических моделей асинхронного двигателя c известной структурой. Однако параметры двигателя (в большей степени сопротивления обмоток статора и ротора) могут меняться в широких диапазонах, что в конечном итоге приводит к ошибкам при определении сегодняшний день идентификации фазовых координат. Ha для параметров объектов существует ряд методов, большинство из которых основаны на использовании фильтров Калмана [7] и метода наименьших квадратов (МНК) [8 – 9]. Основная сложность практической реализации основе фильтров Калмана методов на задачах управления обуславливается электроприводом большим числом выхолных параметров как электрической, так и механической природы. Поэтому в работе предлагается идентификация параметров тягового асинхронного привода дизель-поезда на основе МНК.

Целью статьи является параметрическая идентификация тягового

© Н.В. Мезенцев, А.Ю. Заковоротный, Г.В. Гейко, 2014

#### ISSN 2079-0031 Becmhuk HTY "XПИ", 2014, № 35 (1078)

асинхронного привода дизель-поезда на основе МНК.

Математическая модель тягового асинхронного привода при общеизвестных допущениях может быть представлена в неподвижной системе координат ( $\alpha$ ,  $\beta$ , 0) следующим образом:

$$\frac{di_{s\alpha}}{dt} = \frac{1}{\sigma L_s} U_{s\alpha} - \gamma i_{s\alpha} + \frac{\beta}{T_r} \Psi_{r\alpha} + p\beta \omega \Psi_{r\beta}; \tag{1}$$

$$\frac{di_{s\beta}}{dt} = \frac{1}{\sigma L_s} U_{s\beta} - \gamma i_{s\beta} + \frac{\beta}{T_r} \Psi_{r\beta} + p\beta \omega \Psi_{r\alpha}; \qquad (2)$$

$$\frac{d\Psi_{r\alpha}}{dt} = \frac{L_m}{T_r} i_{s\alpha} - \frac{\Psi_{r\alpha}}{T_r} - p\omega\Psi_{r\beta}; \tag{3}$$

$$\frac{d\Psi_{r\beta}}{dt} = \frac{L_m}{T_r} i_{s\beta} - \frac{\Psi_{r\beta}}{T_r} - p\omega \Psi_{r\alpha}; \tag{4}$$

$$M = \frac{3}{2} p \frac{L_m}{\sigma L_r} \left( \Psi_{r\alpha} i_{s\beta} - \Psi_{r\beta} i_{s\alpha} \right); \tag{5}$$

$$\frac{d\omega}{dt} = \frac{p}{I} (M - M_c), \tag{6}$$

где  $i_{s\alpha}$ ,  $i_{s\beta}$  — соответственно проекции тока статора на оси  $\alpha$  и  $\beta$ ; t — время;  $\sigma = 1 - k_s k_r = 1 - L_m^2/(L_s L_r)$  — полный коэффициент рассеивания;  $L_m$ ,  $L_s$ ,  $L_r$  — соответственно взаимная индуктивность, индуктивности статора и ротора;  $U_{s\alpha}$ ,  $U_{s\beta}$  — соответственно проекции напряжения статора на оси  $\alpha$  и  $\beta$ ;  $\gamma = \frac{R_s}{\sigma L_s} + \frac{R_r L_m^2}{\sigma L_s L_s^2}$ ;  $R_s$ ,  $R_r$  — активные сопротивления

статора и ротора;  $\beta = \frac{L_m}{\sigma L_s L_r}$ ;  $T_r = \frac{L_r}{R_r}$  — постоянная времени ротора; p —

число пар полюсов;  $\Psi_{r\alpha}$ ,  $\Psi_{r\beta}$  — соответственно проекции потокосцеплений ротора на оси  $\alpha$  и  $\beta$ ;  $\omega$  — частота вращения ротора; J — приведенный момент инерции двигателя; M — электромагнитный момент;  $M_c = b_0 + b_1 \omega + b_2 \omega^2$  — момент сопротивления движению;  $b_0$ ,  $b_1$ ,  $b_2$  — коэффициенты, которые зависят от характеристик дизель-поезда и условий движения.

Для выполнения идентификации по МНК необходимо выполнить преобразование модели (1)-(6) к виду, в котором исключены

#### ISSN 2079-0031 Вестник НТУ "ХПИ", 2014, № 35 (1078)

неподдающиеся измерению проекции потокосцепления ротора. Для этого объединив попарно уравнения (1) с (3) и (2) с (4), получим:

$$\frac{d\Psi_{r\alpha}}{dt} = \frac{1}{K_r} \left( U_{s\alpha} - R_s i_{s\alpha} - \sigma L_s \frac{di_{s\alpha}}{dt} \right)$$
 (7)

$$\frac{d\Psi_{r\beta}}{dt} = \frac{1}{K_r} \left( U_{s\beta} - R_s i_{s\beta} - \sigma L_s \frac{di_{s\beta}}{dt} \right). \tag{8}$$

Далее, продифференцировав обе части выражений (1) и (2), получим:

$$\frac{d^{2}i_{s\alpha}}{dt^{2}} = \frac{1}{\sigma L_{s}} \frac{dU_{s\alpha}}{dt} - \gamma \frac{di_{s\alpha}}{dt} + \frac{\beta}{T_{r}} \frac{d\Psi_{r\alpha}}{dt} + p\beta\omega \frac{d\Psi_{r\beta}}{dt} + p\beta \frac{d\omega}{dt} \Psi_{r\beta}; \qquad (9)$$

$$\frac{d^{2}i_{s\beta}}{dt^{2}} = \frac{1}{\sigma L_{s}} \frac{dU_{s\beta}}{dt} - \gamma \frac{di_{s\beta}}{dt} + \frac{\beta}{T_{r}} \frac{d\Psi_{r\beta}}{dt} + p\beta \omega \frac{d\Psi_{r\alpha}}{dt} + p\beta \frac{d\omega}{dt} \Psi_{r\alpha}.$$
 (10)

Подставив выражения (7) в (9), а (8) в (10) и выполнив соответствующие преобразования, с учетом того, что  $\frac{d\omega}{dt} \approx 0$ , имеем

$$\frac{d^{2}i_{s\alpha}}{dt^{2}} + p\omega \frac{di_{s\beta}}{dt} = K_{1}i_{s\alpha} + K_{2}U_{s\alpha} + K_{3}p\omega i_{s\beta} + K_{4}\left(\frac{dU_{s\alpha}}{dt} + U_{s\beta}\right) + K_{5}\frac{di_{s\alpha}}{dt};$$
(11)

$$\frac{d^{2}i_{s\beta}}{dt^{2}} + p\omega \frac{di_{s\alpha}}{dt} = K_{1}i_{s\beta} + K_{2}U_{s\beta} + K_{3}p\omega i_{s\alpha} + K_{4}\left(\frac{dU_{s\beta}}{dt} + U_{s\alpha}\right) + K_{5}\frac{di_{s\beta}}{dt},$$
(12)

де 
$$K_1=-\frac{R_s}{\sigma L_s T_r}$$
;  $K_2=\frac{1}{\sigma L_s T_r}$ ;  $K_3=-\frac{R_s}{\sigma L_s}$ ;  $K_4=\frac{1}{\sigma L_s}$ ;  $K_5=-\frac{(L_r R_s + L_s R_r)}{\sigma L_s L_r}$ .

На основе коэффициентов  $K_1$ ,  $K_2$ ,  $K_3$ ,  $K_4$ ,  $K_5$  могут быть получены основные параметры привода, которых достаточно для построения идентификатора. Эти параметры определяются следующим образом:

## ISSN 2079-0031 Becmhuk HTY "XПИ", 2014, № 35 (1078)

$$R_s = -\frac{K_3}{K_4}, \ L_s = \frac{K_3 - K_5}{K_2}, \ T_r = \frac{K_4}{K_2}, \ \sigma = -\frac{K_2}{K_4(K_3 - K_5)}.$$

Кроме идентификации параметров электрической части привода необходимо также выполнять идентификацию параметров его механической части, а именно, момента сопротивления движению.

Как известно, в математичкеских моделях момент сопротивления движению  $M_{\rm c}$  аппроксимируется полиномом второй степени с постоянными коэффициентами  $b_0$ ,  $b_1$ ,  $b_2$ , которые рассчитываются заранее и остаются постоянными при движении поезда по конкретному перегону. Однако, в процессе движения дизель-поезда по перегону, при изменении дорожной обстановки (погодные условия, изменения расписания и т.д.) эти коэффициенты могут изменяться. Поэтому необходимо выполнять их уточнение при движении подвижного состава по железнодорожному перегону.

Уточнённый момент сопротивления  $M_{c}^{*}$  может быть представлен следующим образом:

$$M_c^* = b_0 + b_1 \omega + b_2 \omega^2 + \varepsilon$$
,

где  $\varepsilon$  — составляющая, которая учитывает изменеие дорожной обстановки. Тогда, используя МНК, могут быть расчитаны новые коэффициенты  $b_0^*,\ b_1^*,\ b_2^*,\$ в которых учтена составляющая  $\varepsilon$ .

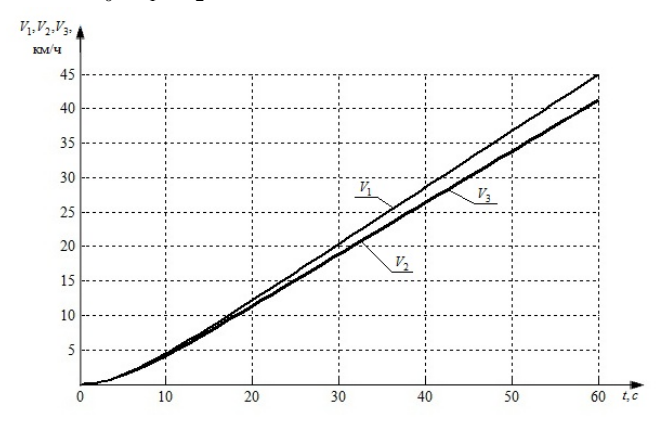


Рис. Изменение скорости движения дизель-поезда

На рис. приведены изменения во времени следующих скоростей движения дизель-поезда:  $V_1$  – расчётная скорость при известных

## ISSN 2079-0031 Вестник НТУ "ХПИ", 2014, № 35 (1078)

параметрах движения по перегону (при известном  $M_c$ );  $V_2$  — реальная скорость дизель-поезда;  $V_3$  — скорость, рассчитанная с учётом  $M_c^*$ . Как видно из рис., скорости  $V_2$  и  $V_3$  практически совпадают, что свидетельствует о правильности нахождения коэффициентов  $b_0^*$ ,  $b_1^*$ ,  $b_2^*$  методом наименьших квадратов, а следовательно, и оценки момента сопротивления  $M_c^*$ .

**Выводы.** С помощью метода наименьших квадратов выполнена идентификация параметров тягового асинхронного привода дизельпоезда. На основе данного подхода может быть создан наблюдатель для системы управления движением подвижного состава.

Список литературы: 1. Дмитриенко В.Д. Моделирование и оптимизация процессов управления движением дизель-поездов / В.Д. Дмитриенко, А.Ю. Заковоротный. - Х.: Изд. центр "НТМТ", 2013. – 248 с. 2. Бешта А.С. Идентификация координат асинхронного в условиях дрейфа активных сопротивлений А.В. Валахонцев, Е.Г. Худой // Електротехніка та електроенергетика. — 2005. — № 2. - С. 52-64. 3. Афанасьев К.С. Идентификация скорости асинхронного электродвигателя лабораторного стенда с помощью фильтра Калмана и наблюдателя Люенбергера / К.С. Афанасьев, А.С. Глазырин // Электротехнические комплексы и системы управления. – 2012. - № 4. - С. 66-69. 4. Водовозов А.М. Идентификация параметров асинхронной машины в установившихся режимах / *А.М. Водовозов*, *А.С. Елюков* // Вестник ИГЭУ. – 2010. – Вып. 3. – С. 69-71. **5.** *Ha I.-J.* An online identification method for both stator and rotor resistances of induction votor without rotational transducers / I.-J. Ha, S.-H. Lee // IEEE Transactions on industrial electronics. – 2000. – Vol. 47. – № 4. – P. 842-852. 6. Duran M.J. Induction-motor sensorless vector control with online parameter estimation and overcurrent protection / M.J. Duran, J.L. Duran, F. Perez, J. Fernandez // IEEE Transactions on industrial electronics. - 2006. - Vol. 53. - № 1. - Р. 154-161. **7.** Афанасьев К.С. Применение расширенного фильтра Калмана для улучшения параметрической робастности бездатчикового асинхронного электропривода / К.С. Афанасьев, А.С. Глазырин // Электротехнические комплексы и системы управления. - 2012. - № 1. - С. 2-7. **8.** *Зоркальцев В.И.* Метод наименьших квадратов: геометрические альтернативные подходы, приложения / В.И. Зоркальцев. - Новосибирск: ВО Наука. - 1995. - 220 с. **9.** Лоусон Ч. Численное решение задач методом наименьших квадратов / Ч. Лоусон, Р. Хенсон. – М.: Наука. – 1986. – 232 с.

Bibliography (transliterated): 1. *Dmitrienko V.D.* Modelirovanie i optimizacija processov upravlenija dvizheniem dizel'-poezdov / *V.D. Dmitrienko, A.Ju. Zakovorotnyj.* – H.: Izd. centr "HTMT", 2013. – 248 p. 2. *Beshta A.S.* Identifikacija koordinat asinhronnogo dvigatelja v uslovijah drejfa aktivnyh soprotivlenij / *A.S. Beshta, A.V. Valahoncev, E.G. Hudoj* // Elektrotehnika ta elektroenergetika. – 2005. – № 2. – P. 52-64. 3. *Afanas'ev K.S.* Identifikacija skorosti asinhronnogo jelektrodvigatelja laboratornogo stenda s pomoshh'ju fil'tra Kalmana i nabljudatelja Ljuenbergera / *K.S. Afanas'ev, A.S. Glazyrin* // Jelektrotehnicheskie kompleksy i sistemy upravlenija. – 2012. – № 4. – P. 66-69. 4. *Vodovozov A.M.* Identifikacija parametrov asinhronnoj mashiny v ustanovivshihsja rezhimah / *A.M. Vodovozov, A.S. Eljukov* // Vestnik IGJeU. – 2010. – Vyp. 3. – P. 69-71. 5. *Ha I.-J.* An online identification method for both stator and rotor resistances of induction votor without rotational transducers / *I.-J. Ha, S.-H. Lee* // IEEE Transactions on industrial electronics. – 2000. – Vol. 47. – № 4. – P. 842-852. 6. *Duran M.J.* 

#### ISSN 2079-0031 Becmhuk HTY "XПИ", 2014, № 35 (1078)

Induction-motor sensorless vector control with online parameter estimation and overcurrent protection / M.J. Duran, J.L. Duran, F. Perez, J. Fernandez // IEEE Transactions on industrial electronics. − 2006. − Vol. 53. − № 1. − P. 154-161. 7. Afanas'ev K.S. Primenenie rasshirennogo fil'tra Kalmana dlja uluchshenija parametricheskoj robastnosti bezdatchikovogo asinhronnogo jelektroprivoda / K.S. Afanas'ev, A.S. Glazyrin // Jelektrotehnicheskie kompleksy i sistemy upravlenija. − 2012. − № 1. − P. 2-7. 8. Zorkal'cev V.I. Metod naimen'shih kvadratov: geometricheskie svojstva, al'ternativnye podhody, prilozhenija / V.I. Zorkal'cev. − Novosibirsk: VO Nauka. − 1995. − 220 p. 9. Louson Ch. Chislennoe reshenie zadach metodom naimen'shih kvadratov / Ch. Louson, R. Henson. − M.: Nauka. − 1986. − 232 p.

Поступила (received) 19.06.2014

Статью представил д-р техн. наук, проф. НТУ "ХПИ" Дмитриенко В.Д.

Mezentsev Nikolay, Cand.Tech.Sci., Docent National Technical University "Kharkiv Polytechnic Institute" Str. Frunze, 21, Kharkiv, Ukraine, 61002 tel./phone: +38 (067) 782-88-41, e-mail: besitzer@rambler.ru ORCID ID: 0000-0001-7834-2797

Zakovorotniy Alexandr, Cand.Tech.Sci., Docent National Technical University "Kharkiv Polytechnic Institute" Str. Frunze, 21, Kharkiv, Ukraine, 61002 tel./phone: +38 (067) 546-35-27, e-mail: arcade@i.ua ORCID ID: 0000-0003-4415-838X

Gejko Gennadij, senior lecturer National Technical University "Kharkiv Polytechnic Institute " Str. Frunze, 21, Kharkiv, Ukraine, 61002 tel./phone: +38 (098) 929-85-28, e-mail: e2901@ rambler.ru ORCID ID: 0000-0001-6958-8306